

Первые три реакции определяются подвижностью катионных и анионных вакансий, и поэтому наблюдаются только при температурах выше 250 К. Реакция (4) носит чисто электронный характер и протекает при низких температурах (в том числе и при 80 К).

Литература

- [1] А. И. Непомнящих, Е. А. Раджабов. Опт. и спектр., 48, 273, 1980.
- [2] D. Schoemaker. Phys. Rev., 7B, 786, 1973.
- [3] A. Watterich, R. Voszka. Acta Phys. Acad. Sci. Hung., 33, 323, 1973.
- [4] R. W. Dreufus, A. S. Nowik. J. Appl. Phys., 33, 473, 1962.
- [5] G. Boldt. Z. Phys., 150, 205, 1958.
- [6] С. Г. Зазубович. Тр. ИФА АН ЭССР, 36, 109, 1969.
- [7] С. С. Бацанов. Структурная рефрактометрия. МГУ, М., 1959.
- [8] E. Sonder. Phys. Rev., 2B, 4189, 1970.

Поступило в Редакцию 8 февраля 1982 г.

УДК 539.184 : 546.291

ДИНАМИЧЕСКИЙ ЭФФЕКТ ХАНЛЕ В He^3 С УЧЕТОМ ЦИРКУЛЯЦИИ КОГЕРЕНТНОСТИ

Ю. К. Доломанский и В. М. Рыжков

Образец с He^3 в условиях оптической накачки имеет три сильно связанных спин-системы $F_{3/2}$, $F_{1/2}$ (метастабильные состояния) и I (основное состояние). Светом накачки ориентируются только системы $F_{3/2}$ и $F_{1/2}$, а спин-система I ориентируется метастабильным обменом с ними.

При наличии внешнего магнитного поля обмен поперечных по отношению к полю компонент ориентации (или циркуляция когерентности) в таком образце имеет свои особенности. Из-за сильного различия гиромагнитных отношений в основном и метастабильных состояниях (\sim на три порядка) частоты прецессии в этих состояниях оказываются существенно различными, и, хотя время пребывания в метастабильных состояниях очень мало ($\sim 10^{-7}$ с), поперечная ориентация за это время может приобрести дополнительный набег фазы, который будет зависеть от величины поля. При возвращении в основное состояние эта поперечная ориентация будет складываться с ориентацией основного состояния с учетом набег фазы. В результате этого процесса должно появиться дополнительное затухание когерентности и сдвиг частоты прецессии в основном состоянии, зависящие от величины поля.

Было показано [1], что стационарный эффект Ханле в He^3 характеризуется чрезвычайно узкой линией, причем ее ширина (~ 0.4 нТ) зависит только от временных характеристик процессов обмена и не зависит от поля. С физической точки зрения это означает, что поперечное поле разрушает ориентацию раньше, чем начинает сказываться его влияние на затухание когерентности.

Для экспериментального наблюдения этого явления целесообразно использовать модуляцию поперечного поля $\vec{H}(t) = H_1 \cos \omega t$, так как это позволит применить технику синхронного детектирования, весьма эффективную при выделении слабых сигналов. При достаточно низкой частоте ω это поле будет действовать на затухание когерентности подобно постоянному и должно вызывать дополнительное уширение линии Ханле и сдвиг, зависящие от амплитуды H_1 . В настоящей работе рассмотрено это явление и его экспериментальное подтверждение.

Уравнения, описывающие движение наблюдаемых $\langle F_{3/2} \rangle$, $\langle F_{1/2} \rangle$ и $\langle I \rangle$ в He^3 с учетом релаксационных процессов, оптической накачки и метастабильного обмена получены в работе [2]. Было показано [3, 4], что при ориентации светом от лампы с He^4 ориентируется только состояние $F_{3/2}$. Уравнения, измененные с учетом этого обстоятельства, приведены в работе [1]. Для чисто поперечной накачки $H \equiv \{0, 0, H_z\}$ (луч накачки по оси ox) компоненты ориентации вдоль поля всегда будут равны нулю.

Для оставшихся поперечных компонент, используя обозначения

$$y_1 = \langle F_{3/2} \rangle_x + i \langle F_{3/2} \rangle_y, \quad y_2 = \langle F_{1/2} \rangle_x + i \langle F_{1/2} \rangle_y, \quad y_3 = \langle I \rangle_x + i \langle I \rangle_y,$$

получим следующую систему уравнений

$$\begin{aligned} \dot{y}_1 &= -ay_1 + \frac{10}{9\tau} y_2 + \frac{10}{9\tau} y_3 + \frac{1}{\tau_p} \langle F_{3/2} \rangle_x^0, \quad \dot{y}_2 = \frac{1}{9\tau} y_1 - by_2 - \frac{1}{9\tau} y_3, \\ \dot{y}_3 &= \frac{1}{3T} y_1 - \frac{1}{3T} y_2 - cy_3, \end{aligned} \quad (1)$$

где

$$a = \frac{1}{\tau_p} + \frac{1}{\tau_R} + \frac{4}{9\tau} + i\gamma_{3/2} H_z; \quad b = \frac{1}{\tau_R} + \frac{7}{9\tau} + i\gamma_{1/2} H_z; \quad c = \frac{1}{T_R} + \frac{1}{T} + i\gamma_I H_z.$$

В этих выражениях для метастабильных состояний — τ_p — время накачки, τ_R — время релаксации, τ — время метастабильного обмена, $\gamma_{3/2}$ и $\gamma_{1/2}$ — гиромагнитные отношения, $\langle F_{3/2} \rangle_x^0$ — стационарная ориентация, достигаемая оптической накачкой при отсутствии релаксации, метастабильного обмена и внешнего поля; для основного состояния — T_R — время релаксации, T — время метастабильного обмена, γ_I — гиромагнитное отношение.

Стационарное решение этой системы для $H_z = 0$ можно получить сразу. С точностью до членов второго порядка по τ/τ_R и τ/τ_p получим

$$y_1^0 = \frac{10}{3} A, \quad y_2^0 = \frac{1}{3} A, \quad y_3^0 = A,$$

где

$$A = \langle F_{3/2} \rangle_x^0 \frac{\tau T'}{\tau_p T'} = \frac{1}{T_R} + \frac{\tau}{T} \left(\frac{10}{3\tau_p} + \frac{11}{3\tau_R} \right). \quad (2)$$

Для решения системы при $H_z \neq 0$ используем метод медленной моды, предложенный в работе [2]. Этот метод учитывает следующее обстоятельство. Система y_3 играет роль маховика с большой инерцией и изменяется медленно. Системы y_1 и y_2 изменяются значительно быстрее и за время $\tau = 10^{-7}$ с приходят в равновесие с системой y_3 . Таким образом, системы y_1 и y_2 следуют без задержки за медленной эволюцией системы y_3 . Это позволяет пренебречь членами \dot{y}_1 и \dot{y}_2 в первых двух уравнениях системы (1) и из полученных алгебраических уравнений выразить y_1 и y_2 через y_3 . Подставив полученные выражения в третье уравнение, получим

$$\dot{y}_3 + P(t) y_3 = Q(t).$$

В этом уравнении наиболее существенное влияние на эволюцию y_3 оказывает функция $P(t)$, поэтому вычисляем ее с точностью до членов второго порядка по τ/τ_R и τ/τ_p и до членов третьего порядка по $\gamma_{3/2} H_z \tau$ и $\gamma_{1/2} H_z \tau$. Она имеет вид

$$P(t) = \frac{1}{T'} + \frac{k H_z^2 \tau^2}{3T} + i\gamma_I H_z (1 + \delta), \quad (3)$$

где

$$k = 35\gamma_{3/2}^2 + 10\gamma_{3/2}\gamma_{1/2} + 2\gamma_{1/2}^2, \quad \delta = \frac{(10\gamma_{3/2} + \gamma_{1/2})\tau}{3\gamma_I T}.$$

Первый член в выражении (3) дает полуширину стационарного сигнала Ханле, второй — уширение за счет поля, вызывающего дополнительное затухание когерентности, и третий член — сдвиг частоты прецессии основного состояния.

Влияние функции $Q(t)$ является менее существенным, поэтому вычисляем ее с точностью до членов первого порядка по указанным выше параметрам. Получим $Q=A/T'$.

Для магнитного поля вида $H(f)=H_z+H_1 \cos \omega t$ решение уравнения имеет вид ряда по гармоникам частоты модуляции ω , амплитуда которых изменяется резонансным образом при $\omega_0=\gamma_I H_z=\pm n\omega$ (n — порядок резонанса). Пренебрегая сдвигом δ , для стационарной амплитуды ($t \rightarrow \infty$) первой гармоники нулевого порядка получим

$$y_3 = \frac{2I_0 I_1 A}{T'(\alpha + i\omega_0)},$$

где $\alpha=1/T'+kH_1^2\tau^2/6T$, $J_0(\omega_1/\omega)$ и $J_1(\omega_1/\omega)$ — функции Бесселя, $\omega_1=\gamma_I H_1$.

Интенсивность света накачки, прошедшего через ячейку с He^3 , измеряется с помощью фотодетектора. Сигнал на нем будет пропорционален величине

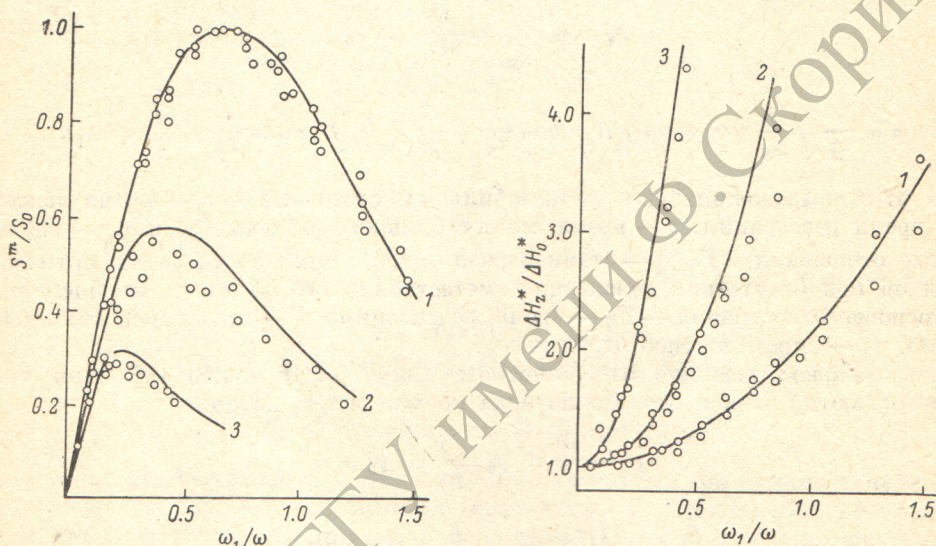


Рис. 1. Зависимость амплитуды сигнала Ханле в He^3 от индекса модуляции ω_1/ω для разных частот модуляции.

1 — 20, 2 — 40, 3 — 80 Гц.

Рис. 2. Зависимость ширины линии сигнала Ханле в He^3 от индекса модуляции ω_1/ω для разных частот модуляции.

1 — 20, 2 — 40, 3 — 80 Гц.

$\langle F_{1/2} \rangle_x$. Выполняя соответствующие вычисления, для амплитуды первой гармоники сигнала фотодетектора найдем

$$S = S_0 \frac{2J_0 J_1}{1 + \varepsilon} \frac{x}{1 + x^2}, \quad (4)$$

где

$$S_0 = \frac{10}{3} A, \quad \varepsilon = \frac{k\tau^2 T' H_1^2}{6T}, \quad x = \frac{H_z}{\Delta H_0^* (1 + \varepsilon)}, \quad \Delta H_0^* = \frac{1}{\gamma_I T'}.$$

Сигнал имеет вид лоренцовой кривой с центром в нулевом поле (линия Ханле). Амплитуда сигнала в экстремумах $S^m = S_0 J_0 J_1 / (1 + \varepsilon)$ зависит от H_1 и уменьшается с увеличением H_1 . Ширина линии между экстремумами

$$\Delta H^* = 2\Delta H_0^* (1 + \varepsilon) \quad (5)$$

также зависит от H_1 и увеличивается с увеличением H_1 .

Эксперименты были выполнены на описанной ранее установке с магнитным экраном [6] для различных частот ω и индексов модуляции ω_1/ω . Стационарный сигнал (4) записывался на двухкоординатном самописце при скорости развертки поля H_z 0.03—0.1 нТ/с. По этим записям определена амплитуда сигнала в эк-

стремумах и ширина линии. Сравнение теоретических и экспериментальных данных приведено на рис. 1 и 2. Совпадение можно считать удовлетворительным.

Теоретические зависимости построены на основе выражений (4) и (5). При этом τ вычислено по формуле $\tau = 1/\sigma v N$ для известного давления в ячейке 1 Тор. Используя известные величины $\sigma = 7.6 \cdot 10^{-16} \text{ см}^2$ [6], $v = 2.06 \cdot 10^5 \text{ см/с}$ [7] и $N = 3.5 \cdot 10^{16} \text{ см}^{-3}$, получим $\tau = 1.82 \cdot 10^{-7} \text{ с}$. Отношение $T'/T = 250$ определено по наилучшему совпадению с экспериментальными данными. Используя эту величину, можно вычислить все остальные временные характеристики для He^3 следующим образом. Величину T' можно определить из выражения $T' = 1/\gamma_I \Delta H_0^*$ по наименьшей наблюдаемой полуширине линии, равной $\Delta H_0^* = 0.5 \text{ нТ}$. Тогда величина T определяется из отношения $T'/T = 250$. Полагая далее, что τ_R целиком определяется диффузией к стенке $\tau_R = r^2/\pi^2 D$ (r — радиус ячейки, D — коэффициент диффузии для давления 1 Тор) и используя величину $T_R = 100 \text{ с}$ [2], из выражения (2) можно определить τ_p . Используя известные величины $D = 1400 \text{ см}^2/\text{с}$ [8], $r = 2.5 \text{ см}$, $\gamma_I = 2.04 \cdot 10^4 \text{ рад/(с} \cdot \text{э)}$, получим $T' = 10 \text{ с}$, $T = 0.04 \text{ с}$, $\tau_R = 4.5 \cdot 10^{-4} \text{ с}$ и $\tau_p = 2.8 \cdot 10^{-4} \text{ с}$. Эти величины согласуются с оценкой в работе [2].

Рассмотренное влияние модулирующего поля необходимо учитывать при использовании эффекта Ханле на He^3 для магнитометрических целей [6].

Литература

- [1] Ю. К. Долломанский, В. М. Рыжков. Опт. и спектр., 23, 334, 1976.
- [2] J. Dupont-Roc, M. Leduc, F. Laloe, J. Physiq., 34, 961, 1973.
- [3] R. C. Timsit, I. M. Daniels. Can. J. Phys., 49, 545, 1971.
- [4] G. G. Greenhow. Phys. Rev., 136, A660, 1964.
- [5] Ю. К. Долломанский, В. М. Рыжков, П. Н. Сальников, В. А. Фадеев. Депомир. в ВИНТИ, № 1990-80 ДЕП. РЖГфиз, 9A70, ДЕП, 1980.
- [6] J. Dupont-Roc, M. Leduc, F. Laloe. Phys. Rev. Lett., 27, 467, 1971.
- [7] L. D. Scheaver. Phys. Rev., Ser. 2, 160, 76, 1967.
- [8] J. Brossell. In: Atomic Physics 3, Proc. He^3 Internat. Conf. on Atomic Physics, Boulder, Colorado, Plenum Press, 1972.
- [9] Ю. К. Долломанский, В. М. Рыжков. Письма ЖТФ, 3, 377, 1977.

Поступило в Редакцию 9 февраля 1982 г.

УДК 535.34 : 537.311.3

ПОЛЯРИЗАЦИОННАЯ ЗАВИСИМОСТЬ НЕЛИНЕЙНОГО ВНУТРИЗОННОГО ПОГЛОЩЕНИЯ СВЕТА В ПОЛУПРОВОДНИКАХ

В. Л. Малевич

Нелинейному поглощению света свободными носителями в полупроводниках был посвящен ряд статей [1-3]. Во всех этих работах был исследован лишь случай линейно поляризованного света, не учитывалось также влияние электромагнитной волны на функцию распределения электронов. Между тем в работах [9-11] было показано, что даже в полупроводниках с изотропным энергетическим спектром имеет место зависимость многофотонного межзонного поглощения света от его поляризации.

В настоящем сообщении приводятся результаты теоретического исследования поляризационной зависимости нелинейного внутризонного поглощения света в полупроводниках со сферическим энергетическим спектром. Коэффициент поглощения вычислим в квадратичном приближении по амплитуде световой волны, т. е. ограничимся учетом одно- и двухквантовых переходов.

Как и в [9-11], коэффициент поглощения можно представить в виде разложения по линейно независимым сферическим инвариантам, составленным из век-